ОБОРУДОВАНИЕ ЛЕСОЗАГОТОВОК И ТРАНСПОРТА ЛЕСА

УДК 629.114.2:624.04

Е.А. БОРОДИЧ, С.П. МОХОВ, А.И. АРАБЕЙ

ПРИМЕНЕНИЕ МЕТОДА КОНЕЧНЫХ ЭЛЕМЕНТОВ К РАСЧЕТУ РАМЫ ПРИЦЕПА-СОРТИМЕНТОВОЗА

В целях снижения металлоемкости и повышения грузоподъемности несущих систем лесотранспортных машин необходимо располагать информацией о динамических напряжениях, возникающих в конструкциях.

Для определения напряженно-деформированного состояния рам прицепных средств широко применяется метод конечных элементов. Один из вариантов этого метода заключается в моделировании несущей конструкции в виде стержней при разбиении ее на отдельные элементы. Границами элементов являются узловые или другие характерные точки конструкции (места стыковки, изменения профиля сечения элементов и т.д.). В качестве искомых параметров принимаются перемещения узлов, которые затем используются для определения напряжений.

Однако методом конечных элементов, представленных в виде стержней, можно рассчитать значения динамических напряжений лишь в узловых точках системы, что не дает возможности получить точную картину нагруженности отдельных элементов конструкции и значительно затрудняет выбор рациональных параметров несущей системы. Для решения задачи по выбору рациональных размерно-жесткостных параметров элементов несущей конструкции прицепа-сортиментовоза были использованы пластинчатые конечные элементы в виде треугольников.

Снижение затрат машинного времени возможно в результате разделения поставленной задачи на два этапа [1]. На первом этапе определяются статические напряжения в элементах рамы транспортной системы, а на втором — статистические характеристики динамических напряжений. Такой подход позволяет учитывать характерные особенности эксплуатационной нагруженности несущей системы прицепов-сортиментовозов. Остановимся подробнее на данной методике.

На первом этапе несущая конструкция разбивается на узлы и конечные элементы. Исходными данными для расчета являются также координаты узлов, фиксированные перемещения и условные номера конечных элементов. Напряженно-деформированное состояние рамы прицепа определяется при n видах нагружения, причем в каждом виде единичной силой, направленной вдоль оси z, нагружается только один узел расчетной схемы с координатами x_p, y_p, z_i , где i=1,...,n (точки контакта рамы с грузом). В результате решения для каждого i-го из n видов нагружения на печать выводятся:

1) вертикальное перемещение нагруженного узла Δ_i ;

2) компоненты плоского поля напряжений $\sigma_{x_j}^{\bar{l}}$, $\sigma_{y_j}^{\bar{l}}$, $\tau_{xy_j}^{\bar{l}}$ для каждого \bar{l} -го конечного элемента.

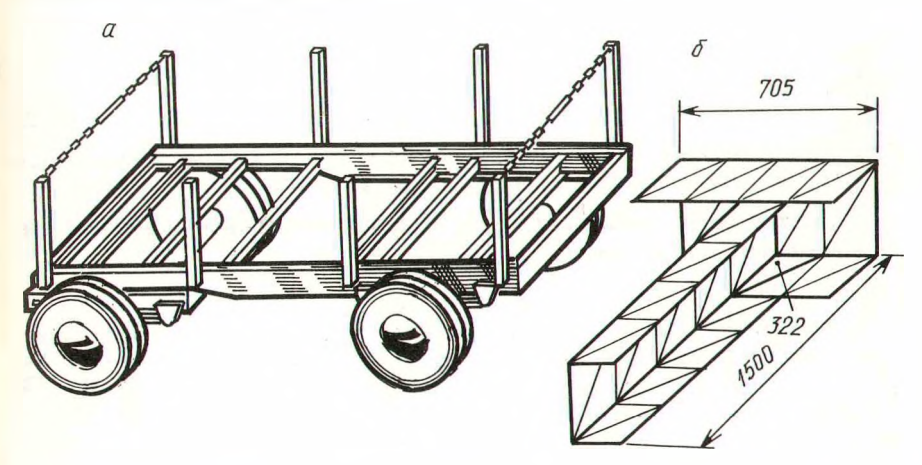
Реакции рамы в точке с координатами x_i , y_i , z_i на вертикальные смещения вычисляются по формулам:

$$R_{1i} = \frac{1}{\Delta_i} \; ; \; R_{2i} = \frac{X_i}{\Delta_i} \; ; \; R_{3i} = \frac{Y_i}{\Delta_i} \; ,$$
 (1)

при этом коэффициенты матрицы влияния определяются в виде

$$\begin{vmatrix} \sigma_{x_j}^k \\ \sigma_{y_j}^k \\ \tau_{xy_j}^k \end{vmatrix} = \begin{vmatrix} \sigma_{x_j}^i \\ \sigma_{y_j}^i \\ \tau_{xy_j}^l \end{vmatrix} \times R_{ki} , \qquad (2)$$

где суммирование происходит по повторяющимся индексам, а k равно 1, 2, 3. Несущая конструкция прицепа-сортиментовоза (рис. 1, a) была разбита на 406 конечных элементов и содержала 256 узлов. Задача решалась для 15 видов нагружения на ЭВМ ЕС-1033.



Puc. 1. Прицеп-сортиментовоз:

 $m{a}$ — общий вид; $m{\delta}$ — узел соединения поперечины с лонжероном (расчетная схема).

По данным расчета, в конструкции прицепа наиболее нагружена нижняя полка лонжерона в зоне установки второго кронштейна задней подвески (рис. 1, δ). Поэтому рассмотрим метод расчета на примере конечного элемента с номером j=322, коэффициенты матрицы влияния которого вычислены по формулам (1) и (2) и представлены в табл. 1.

На втором этапе определяем значения корреляционных моментов

Таблица 1. Матрица влияния, МПа

К	σ ^k _{×322}	$\sigma_{\gamma_{322}}^k$	$\tau^k_{_{_{_{_{_{_{_{_{3}_{2}}}}}}}}}$
1	-23,02	9,72	-7,82
2	-10,69	4,59	-3,11

Таблица 2. Значения корреляционных моментов

Сорреляционные моменты	Размерность	ν= 0	
$\kappa_{\varphi_1^{(\nu)}\varphi_1^{(\nu)}}$	$M^2/c^{2\nu}$	0,000066	
$K_{\varphi_1^{(\nu)},\varphi_2^{(\nu)}}$	м/c ² ^ν	-0,00011	
$K_{\varphi(\nu)}_{\varphi(\nu)}_{\varphi(\nu)}_{\varphi(\nu)}$	1/c ^{2 v}	0,000307	

ра I и p указывают на условный порядок следования обобщенных перемещений φ_{p} и φ_{p}). Результаты расчета представлены в табл. 2.

Корреляционную матрицу плоского поля напряжений в j-м конечном элементе определяем по формуле

$$\kappa_{j}^{(0)} = \begin{bmatrix}
\sigma_{x_{j}}^{l} & \sigma_{x_{j}}^{p} & \sigma_{x_{j}}^{l} & \sigma_{y_{j}}^{p} & \sigma_{x_{j}}^{l} & \tau_{xy_{j}}^{p} \\
\sigma_{x_{j}}^{l} & \sigma_{y_{j}}^{p} & \sigma_{y_{j}}^{l} & \sigma_{y_{j}}^{p} & \sigma_{xy_{j}}^{l} & \tau_{xy_{j}}^{p} \\
\sigma_{x_{j}}^{l} & \sigma_{xy_{j}}^{p} & \sigma_{y_{j}}^{l} & \tau_{xy_{j}}^{p} & \tau_{xy_{j}}^{l} & \tau_{xy_{j}}^{p}
\end{bmatrix} \times \kappa_{\varphi^{(0)}} (0)$$

$$= 1.2: p = 1.2.$$

где l = 1, 2; p = 1, 2.

Для нашего примера корреляционная матрица имеет следующий вид:

$$\mathbf{K}_{322}^{(0)} = \begin{vmatrix} 1,6 & -0,67 & 0,52 \\ -0,67 & 0,28 & -0,21 \\ 0,52 & -0,21 & 0,17 \end{vmatrix}$$
 (4)

На главной диагонали матриц (3) и (4) находятся значения дисперсий напряжений $\sigma_{_{\! X}}$ и $\sigma_{_{\! U}}$, действующих по осям X и Y, и касательных напряжений $au_{_{\rm LV}}$ в данной точке.

Полученные матрицы являются исходным материалом для оценки динамической нагруженности и уже на стадии проектирования позволяют прогнозировать долговечность несущей конструкции прицепа-сортиментовоза по известным методикам [2].

ЛИТЕРАТУРА

1. Мельчаков А.П., Фельзенштейн В.С. Расчет плоскопространственных рим из тонкостенных стержней // Исследования по строительной механике и механике грунтов / Тр. ЧПИ № 225. — Челябинск, 1979. — С. 69—77. 2. Гусев А.С., Светлицкий В.А. Расчет конструкций при случайных воздействиях. — М.: Машиностроение, 1984. — 240 с.

УДК 630*.375.5

А.В. ГЕРМАЦКИЙ

ИССЛЕДОВАНИЕ ПОПЕРЕЧНОЙ УСТОЙЧИВОСТИ ЛЕСОВОЗНОГО АВТОПОЕЗДА С ГИДРОМАНИПУЛЯТОРОМ ПРИ ДВИЖЕНИИ ПО ПРЯМОЙ

Расширяющееся использование на лесозаготовках автопоездов с гидроманипуляторами (ГМ) требует уточнения конструктивных параметров системы "автомобиль—ГМ". Это вызвано необходимостью обеспечить безопасность движения автопоездов по дорогам общего пользования с интенсивными грузопотоками.

Важным показателем является устойчивость транспортного средства против опрокидывания. Для лесовозного тягача, оборудованного ГМ, этот показатель может ухудшаться из-за массы манипулятора, расположенного в передней части автомобиля.

Для оценки поперечной динамической устойчивости автопоезда с ГМ использована методика [1], основанная на спектральной теории подрессоривания, которая позволяет получить достаточно простые выражения для расчета угла динамического крена элементов автопоезда. В отличие от известной расчетной схемы подобного автопоезда [1] расчетная схема динамической модели включает массу манипулятора, которую для транспортного положения принимаем сосредоточенной в центре тяжести ГМ. Вследствие этого изменяются координаты центра тяжести тягача и, следовательно, динамика системы. Коэффициент динамического крена тягача

$$K_{\nu} = \sqrt{\frac{A\omega^{2} + B\omega^{2}}{(\omega^{4} - c_{1}\omega^{2} + c_{2}^{2} + (g_{2}\omega - g_{1}\omega^{3})^{2}}}$$
(1)

 $(A_{\omega}, B_{\omega'} c_1, c_2, g_1)$ и g_2 имеют весьма сложный вид и приведены в специальной литературе [1]).

По выражению (1) находим значения амплитудно-частотных характеристик поперечно-угловых кренов тягача $W_{\gamma(i\,\omega)}$ и прицепа-роспуска с грузом $W_{\sigma(i\,\omega)}$: